

名古屋大学 学生員 ○牧野時則
 名古屋大学 学生員 三宅一亮
 名古屋大学 正員 菊池洋一

1. まえがき

C.T型鋼を利用したC.Tガーダーは、プレートガーダーと比較して残留応力が特異な分布を示している。腹板の座屈に対しては、C.T型鋼の腹部が厚いため有利であり、ハイブリッド桁と併用した場合最も有利であると考えられる。さるにC.Tガーダー製作上、片面寄せを採用する場合も考えられる。これら条件を総合して、プレートガーダーとC.Tガーダーとの曲げ耐荷力を小型試験体により実験的に比較研究し、さるにC.Tガーダーの実大型試験体の耐荷力について実験的に研究したのである。

2. 実験概要

2-1. 試験体

小型試験体 柱高700mm、フランジ幅160mm、フランジ厚20mm(19mm)、腹板厚6mmのC.Tガーダーとプレートガーダーであり、試験体の断面形状の概略図をFig.1に示す。今あるCT-O, CT-Hの両タイプは腹板を片寄せしたものである。

またCT-Nはスパン中央に垂直補剛材を有する。

実大型試験体 試験体は6体であり、その断面定数をTable-1に示す。ここにCT-1, CT-3は腹板を片寄せしたものであるが、CT-1は片面溶接、CT-3は両面溶接したものである。

こゝの実大型試験体と17の特性は、 B/t (腹板の幅厚比)を130, 140, 150としていることである。各構成はC.T型鋼: SM50Y, 中間腹板: SM50である。

2-2. 載荷装置と測定

小型試験体は、Fig.2のように配置(静的最大荷重75kN)油压ジャッキ2基を使用し、単純支持式、2点載荷とする。なお試験体は両側のLoading Beamと中央のTest Beamからなり両端荷重ボルトで連結した。また両側のLoading Beamは、試験体6体を通じて同じものを使用した。一方、実大型試験体は、Fig.3のように配置(静的最大荷重1000kN)の載荷装置を使用した。

また両試験とともに柱の横倒れを防止するため載荷点の両側に横倒れ防止棒を図のように設けた。

小型試験は、柱側フランジにダイヤルゲージを11個所設置し、実大型試験では5個所設置し柱の鉛直変位を測定した。

また、小型試験では腹板の水平変位をU型鋼にダイヤルゲージを取付け測定した。ひずみは、電気抵抗炉ゲージを使用し、残留応力の測定は、断面分割法により行った。

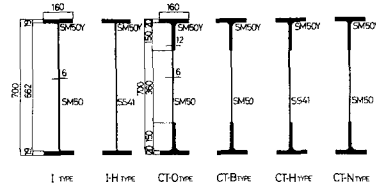


Fig.1 Name, Material, and shape of Specimens

Table 1 大型試験体							
試験体	B/t	B/t_w	H	t_w	b_f	t_c	操作方法
CT-1	130	1218	9	300	200	13	24 片寄せ
CT-2	140	1308	9	300	200	13	24 片寄せ
CT-3	150	1398	9	300	200	13	24 片寄せ
CT-1a	130	1218	9	300	200	14	26 片寄せ
CT-2a	140	1308	9	300	200	14	26 片寄せ
CT-3a	150	1398	9	300	200	14	26 片寄せ

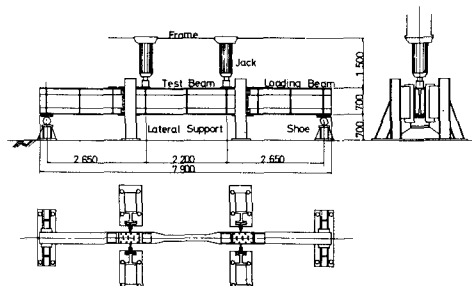


Fig.2 TEST Set-up

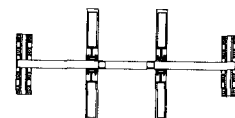
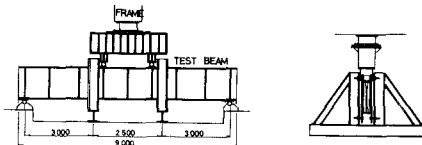


Fig.3 TEST SET UP

3. 実験結果と考察

3-1. 拡張残留応力及び曲げ性状

CTガーダーではFig.4.-5の小型及び実大型試験体の残留応力分布の例に示すように最大の張残留応力は、フランジよりやや離れた腹板内に生じており、曲げに対する支配的であるフランジ内に存在する残留応力の値は、それだけ、 $0.2\sigma_y$ (η:降伏応力)、 $0.1\sigma_y$ 程度である。このような残留応力分布の曲げモーメント(M)-曲率(θ)関係に及ぼす影響は、後の一例Fig.9に示すように、試験体がハイブリッドであるにもかかわらず曲げ挙動は安定している。

3-2. 戻寄せの影響

CT-O, CT-H TYPE の腹板内寄せによる偏心量は、せん断中心で 1.76mm 、実大型のCT-1, CT-3 TYPE では、 $0.6\sim0.8\text{mm}$ 程度である。またフランジのひずみ分布例Fig.6、あるいは腹板の軸方向ひずみ分布例Fig.7(a)からも他の試験体と比べて特異性があるわけではなく、さほど載荷初期と降伏点附近の腹板の表面ひずみ分布Fig.7(b), (c)においても顕著な差異は認められない。これだけことは、実大型に至っても同様である。

3-3. ハイブリッド性

通常のハイブリッド桁(I-H TYPE)Fig.8は、載荷初期から線形性を失なくつに付し、CTガーダーのハイブリッド桁(CT-H TYPE)Fig.9は、他のCTガーダーとその曲げ挙動はほとんど変わらず、ハイブリッド性が拡張荷重に影響を及ぼさないと考えられる。

3-4. 腹板の座屈

座屈荷重は、曲げモーメント(M)-ひずみ(ε)関係から推定した。その結果、CTガーダーの腹板の座屈荷重は、プレートガーダーの座屈荷重より $14\%\sim16\%$ 上昇した値を示した。

4. まとめ

本研究では、CTガーダーの残留応力については、ほとんどその影響を無視でき、有利性に関してほぼ期待すべき結果が得られた。しかし、せん断座屈が得られなかつたこと、また実大型試験を行はずとも充分であることはいえなし。さらに疲労問題についても今後の課題である。

結果の詳細及び座屈強度の理論解を当日報告する予定である。

今後、本研究は、新日本製鐵(株)、トピード工業(株)の協力を得て行なわれた。

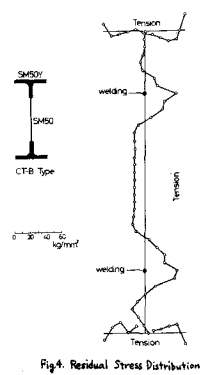


Fig.4. Residual Stress Distribution

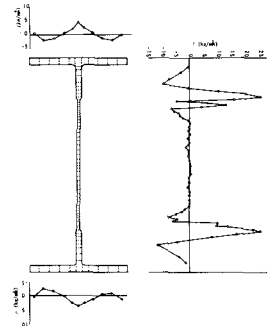


Fig.5. Distribution of Residual Stress in CT-2 Section.

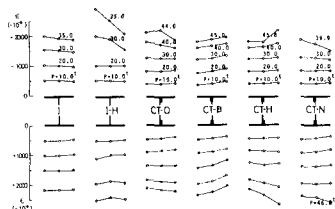


Fig.6. Strain Distribution of Flange

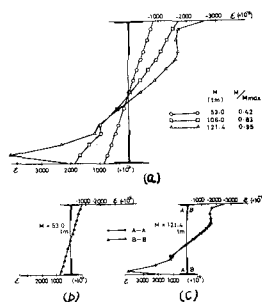


Fig.7. Strain Distribution of Web

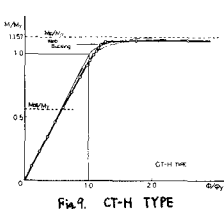


Fig.9. CT-H TYPE

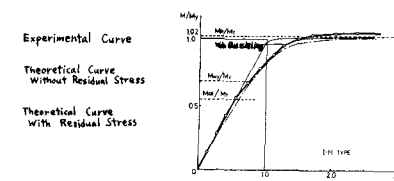


Fig.8. I-H TYPE